



# БИООРГАНИЧЕСКАЯ ХИМИЯ

том 14 \* № 8 \* 1988

УДК 577.152.241·1.042

## ВЗАИМОДЕЙСТВИЕ МЫШЕЧНОЙ ГЛИКОГЕНФОСФОРИЛАЗЫ *b* С РИБОФЛАВИНОМ, ЕГО ТЕТРААЦЕТИЛПРОИЗВОДНЫМ И ИХ АНАЛОГАМИ

Клинов С. В., Кургунов Б. И., Чеботарева Н. А.,  
Жилина Т. А., Литвак Ж. И., Глебова Г. Д.,

Березовский В. М.

Научно-производственное объединение «Витамины», Москва

Изучено взаимодействие гликогенфосфорилазы *b* из скелетных мышц кролика с рибофлавином, 2',3',4',5'-тетраацетилрибофлавином и их аналогами, содержащими различные заместители в положениях 6, 8 и 8α. Методом скоростной седиментации определена константа диссоциации комплекса фермента с рибофлавином, разная 12,5 мкМ (рН 6,8; 20° С). Обнаружено, что рибофлавин и его производные ингибируют гликогенфосфорилазу *b*. Значения концентрации «полунасыщения» для ингибиторов возрастают в ряду: рибофлавин (18 мкМ), 8-метокси(пор)рибофлавин (23 мкМ), 8α-бром-2',3',4',5'-тетраацетилрибофлавин (40 мкМ), 6-бромрибофлавин (40 мкМ), 8α-гидроксирибофлавин (60 мкМ), 8-гидрокси(пор)рибофлавин (90 мкМ), 8α-(γ-карбоксипроцессамино)-2',3',4',5'-тетраацетилрибофлавин (90 мкМ), 8α-[*n*-(5-тил - 1,3,4-тиодиазол-2-илсульфамидо)фениламино]-2',3',4',5'-тетраацетилрибофлавин (100 мкМ), 8α-(L-метионино)-2',3',4',5'-тетраацетилрибофлавин (120 мкМ), 8α-[*n*-(тиазол-2-илсульфамидо)фениламино]-2',3',4',5'-тетраацетилрибофлавин (140 мкМ), 8α-(*n*-сульфамидофениламино)-2',3',4',5'-тетраацетилрибофлавин (180 мкМ), 8α-(*n*-карбоксифениламино)-2',3',4',5'-тетраацетилрибофлавин (210 мкМ), 2',3',4',5'-тетраацетилрибофлавин (250 мкМ), 8α-(L-гомосерино)-2',3',4',5'-тетраацетилрибофлавин (340 мкМ), 8α-(L-глутамо)-2',3',4',5'-тетраацетилрибофлавин (360 мкМ). Существование комплексов гликогенфосфорилазы *b* с рибофлавином и его аналогами доказано методами абсолютной и разностной спектрофотометрии.

Взаимодействие гликогенфосфорилазы (КФ 2.4.1.1) из скелетных мышц кролика с природными флавинами явилось предметом ряда исследований [1–4]. Авторами работы [1] было обнаружено, что рибофлавин, FMN и FAD – высокоеффективные ингибиторы гликогенфосфорилазы *a* – фосфорилированной формы фермента. Связывание FMN и гликогенфосфорилазы *a* протекает с образованием интеркалятивного комплекса флавина с остатками Tug-612 и Phe-285, которые расположены в аллостерическом ингибиторном центре фермента [2]. FMN, FAD и их производные являются также ингибиторами гликогенфосфорилазы *b* – дефосфорилированной формы фермента [3, 4]. Ингибирующее действие FMN на гликогенфосфорилазу *b* проявляется в снижении предельной скорости ферментативной реакции и увеличении концентрации «полунасыщения» для AMP [3]. Введение различных заместителей в положение 8 изоаллоксазиновой части молекул FMN и FAD, а также в положение 6 изоаллоксазинового остатка FMN приводит к увеличению концентрации флавина, необходимой для двукратного уменьшения скорости ферментативной реакции. Связывание FMN и FAD с гликогенфосфорилазой *b* вызывает изменение спектральных свойств изоаллоксазинового хромофора [3, 4]. Настоящая работа посвящена изучению взаимодействия гликогенфосфорилазы *b* из скелетных мышц кролика с рибофлавином, 2',3',4',5'-тетраацетилрибофлавином и их 6- и 8-замещенными производными.

Связывание рибофлавина гликогенфосфорилазой *b* было изучено методом скоростной седиментации с помощью абсорбционной фотоэлектрической сканирующей системы. Типичная картина седиментации смеси рибофлавина с ферментом представлена на рис. 1а. Регистрацию оптической плотности проводили при длине волны, соответствующей максимуму по-

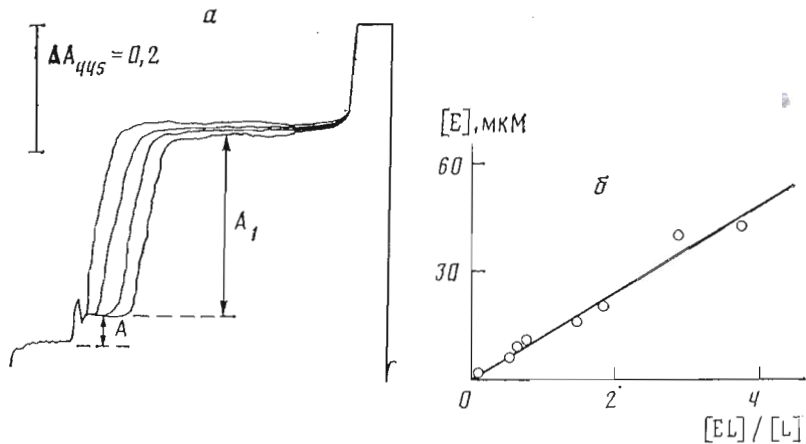


Рис. 1

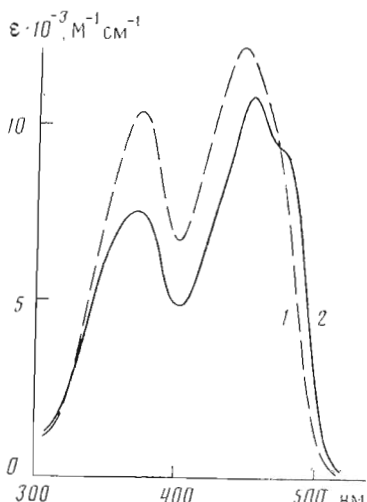


Рис. 2

глоцения рибофлавина (445 нм). В изученных условиях лиганд практически не седиментирует, и наблюдаемая граница седиментации связана с движением комплекса фермента с рибофлавином. Высота границы седиментации ( $A_1$ ) соответствует оптической плотности связанного лиганда, а высота остаточного плато у мениска ( $A$ ) — оптической плотности свободного лиганда. Микроскопическую константу диссоциации ( $K$ ) комплекса гликогенфосфорилазы  $b$  с рибофлавином рассчитывали графически, предполагая стехиометрию комплекса равной 1 : 1, по формуле

$$[E] = K[EL]/[L], \quad (1)$$

где  $[E]$  — равновесная концентрация гликогенфосфорилазы  $b$  в расчете на мономер,  $[L]$  и  $[EL]$  — равновесные концентрации свободного и связанного лигандов. Величину  $[EL]$  рассчитывали как разность между общей концентрацией лиганда  $[L]_0$  и  $[L]$ , а величину  $[E]$  — как разность между общей концентрацией фермента в расчете на мономер  $[E]_0$  и величиной  $[EL]$ . Расчет  $[L]$  проводили на основании значений оптического поглощения, регистрируемого к определенному моменту времени в области остаточного плато у мениска ( $A$ ) в ячейке, содержащей смесь лиганда и фермента, и оптического поглощения на том же радиальном расстоянии в контрольной ячейке (без фермента) ( $A_0$ ). Поскольку величина  $[L]_0$  известна, то

$$[L] := [L]_0 A / A_0. \quad (2)$$

Такой способ расчета позволяет избежать ошибок, связанных с радиаль-

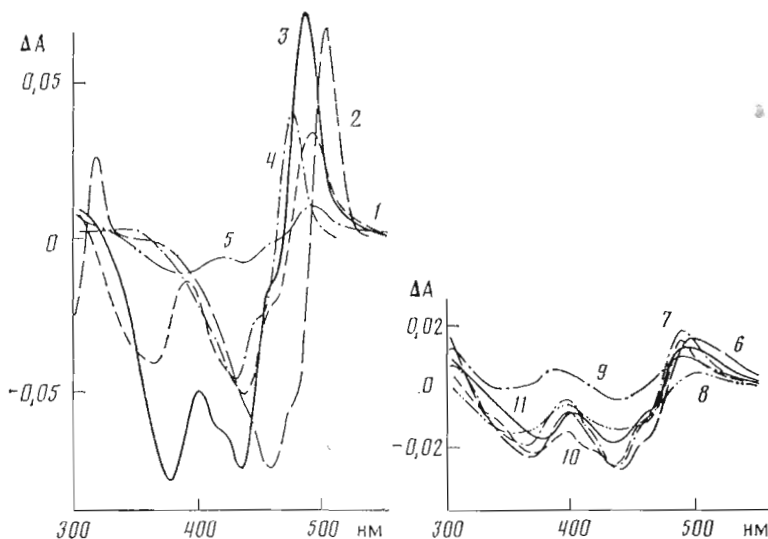


Рис. 3. Разностные спектры оптического поглощения смеси гликогенфосфорилазы *b* (42 мкМ в расчете на мономер) с флавинами (в скобках приведена концентрация флавина, мкМ): 1 – 8 $\alpha$ -гидроксирибофлавин (74), 2 – 8-гидрокси(нор)рибофлавин (29), 3 – рибофлавин (54), 4 – 8-метокси(нор)рибофлавин (23), 5 – 6-бромрибофлавин (17), 6 – 8 $\alpha$ -(*n*-карбоксифениламино)-2',3',4',5'-тетраацетилрибофлавин (100), 7 – 8 $\alpha$ -бром-2',3',4',5'-тетраацетилрибофлавин (33), 8 – 8 $\alpha$ -(*n*-сульфамидофениламино)-2',3',4',5'-тетраацетилрибофлавин (35), 9 – 8 $\alpha$ -(*L*-глутамо)-2',3',4',5'-тетраацетилрибофлавин (88), 10 – 8 $\alpha$ -( $\gamma$ -карбоксипропиламино)-2',3',4',5'-тетраацетилрибофлавин (56), 11 – 2',3',4',5'-тетраацетилрибофлавин (70)

ным разбавлением. Линейный характер зависимости  $[E]$  от  $[EL]/[L]$  (рис. 1б) можно рассматривать как подтверждение того, что одна молекула рибофлавина связывается на субъединице гликогенфосфорилазы *b*. Величина  $K$ , рассчитанная из наклона прямой, оказалась равной  $12,5 \pm 0,5$  мкМ.

Спектр оптического поглощения рибофлавина заметно изменяется в присутствии гликогенфосфорилазы *b* (рис. 2). Для использованных концентраций флавина (50 мкМ) и фермента (407 мкМ в расчете на мономер) степень насыщения рибофлавина белком составляет 97% (рассчитана на основании измеренной константы диссоциации комплекса). Таким образом, наблюдаемый спектр оптического поглощения рибофлавина в присутствии фермента практически полностью соответствует спектру оптического поглощения рибофлавина, связанного гликогенфосфорилазой *b*. При связывании с белком значительно уменьшается интенсивность полос поглощения рибофлавина при 445 и 374 нм, полоса поглощения 374 нм смещается на 3 нм в сторону меньших длин волн, полоса поглощения 445 нм смещается на 6 нм в сторону больших длин волн, появляется заметное плечо в области 470 нм. Оптическое поглощение пиридоксаль-5'-фосфата, простетической группы, по-видимому, не изменяется при взаимодействии фермента с рибофлавином, поскольку поглощение смеси флавина с ферментом в области 310–350 нм практически совпадает с суммарным поглощением индивидуальных компонентов смеси. Изменение спектральных свойств рибофлавина, по-видимому, обусловлено уменьшением полярности микроокружения флавина при связывании с белком.

Разностный спектр оптического поглощения системы гликогенфосфорилаза *b* – рибофлавин (рис. 3, 3) имеет положительный пик при 487 нм и два отрицательных пика при 435 и 378 нм (кроме того, наблюдаются «плечи» при 420 и 460 нм). Появление положительного пика при 487 нм обусловлено батохромным сдвигом первой полосы поглощения рибофлавина при связывании с ферментом. Разностные спектры смесей гликогенфосфорилазы *b* с 8 $\alpha$ -гидрокси-, 8-гидрокси(нор)- и 6-бромрибофлавинами (рис. 3, 1, 2, 5) сходны с соответствующими спектрами смесей фермен-

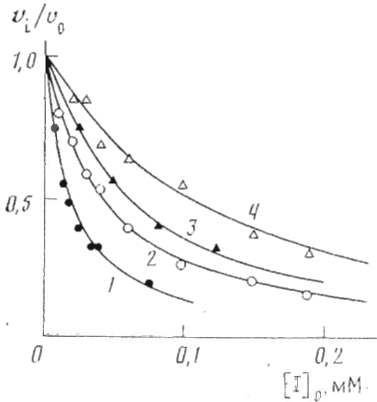


Рис. 4. Зависимость относительной скорости реакции, катализируемой гликогенфосфорилазой *b* в присутствии 0,1 мМ АМР, от концентрации рибофлавина (1), 8 $\alpha$ -бром-2',3',4',5'-тетраацетилрибофлавина (2), 8 $\alpha$ -гидроксирибофлавина (3) и 8 $\alpha$ -[n-(5-этил-1,4-тиодиазол-2-илсульфамидо)фениламино]-2',3',4',5'-тетраацетилрибофлавина (4). Точки — экспериментальные данные, сплошные кривые рассчитаны с использованием средних значений параметров уравнения Хилла, приведенных в таблице

та и производных FMN с идентичными модификациями [3]. Изменение спектральных свойств флавинов при смешивании с ферментом (рис. 3, 1–11) свидетельствует об образовании комплексов гликогенфосфорилазы *b* с рибофлавином, его тетраацетилпроизводным и их аналогами.

Ингибиование гликогенфосфорилазы *b* в присутствии рибофлавина и его производных проявляется в снижении каталитической активности, индуцируемой АМР (рис. 4). Обратимость ингибиции гликогенфосфорилазы *b* флавинами следует из того, что предварительное смешивание раствора фермента с концентрированным раствором ингибитора не приводит к изменению степени ингибиции по сравнению со смешиванием раствора фермента с разбавленным раствором ингибитора (при условии равенства конечных концентраций фермента и ингибитора). Количественный анализ ингибиции проводили с использованием следующей линейной формы уравнения Хилла (см. [5]):

$$\lg \left( \frac{v_0}{v_i} - 1 \right) = h \lg [I]_0 - h \lg [I]_{0,5}, \quad (3)$$

где  $v_0$  и  $v_i$  — начальные скорости ферментативной реакции в отсутствие и в присутствии ингибитора соответственно;  $[I]_0$  — общая концентрация ингибитора;  $[I]_{0,5}$  — значение  $[I]_0$ , при котором  $v_i = v_0/2$ ,  $h$  — коэффициент Хилла. Параметры уравнения (3) и стандартные ошибки параметров определяли с использованием метода наименьших квадратов. Ингибирующее действие рибофлавина, 2',3',4',5'-тетраацетилрибофлавина и большей части их аналогов характеризуется положительной кинетической кооперативностью (таблица), что свидетельствует о существовании положительных кооперативных взаимодействий между центрами связывания рибофлавина и его производных в димерной молекуле гликогенфосфорилазы *b*. Введение заместителей в положения 6 и 8 незначительно влияет на величину коэффициента Хилла, но заметно ухудшает связывание флавина с гликогенфосфорилазой *b*, что проявляется в увеличении  $[I]_{0,5}$  (таблица). Максимальное изменение сродства в ряду рибофлавина и его 8-замещенных производных наблюдается при переходе от рибофлавина к 8-гидрокси(нор)рибофлавину: величина  $[I]_{0,5}$  для этого аналога в 5 раз выше соответствующей величины для рибофлавина. Сходные изменения величин  $[I]_{0,5}$  наблюдаются для 8-замещенных производных FMN [3]. Ацетилирование рибосильных гидроксилов рибофлавина мало влияет на значение коэффициента Хилла, но значительно ухудшает связывание флавина с гликогенфосфорилазой *b*: величина  $[I]_{0,5}$  для тетраацетилпроизводного в 13 раз превышает соответствующую величину для рибофлавина. Введение остатков *L*-гомосерина и *L*-глутаминовой кислоты в 8 $\alpha$ -положение 2',3',4',5'-тетраацетилрибофлавина приводит к дальнейшему ухудшению сродства флавина к ферменту, в то время как введение остатков *L*-метионина,  $\gamma$ -аминомасляной и *n*-амиnobензойной кислот, а также различных сульфаниламидных групп вызывает некоторое ослабление эффек-

**Параметры уравнения Хилла для ингибиования гликогенфосфорилазы в  
рибофлавином и его производными**

Ингибитор	<i>h</i>	[I] <sub>0,5</sub> , мкМ
Рибофлавин	1,09±0,03	18±2
8-Метокси(нор) рибофлавин	1,16±0,05	23±4
6-Бромрибофлавин	0,9±0,2	40±10
8α-Гидроксирибофлавин	1,18±0,05	60±10
8-Гидрокси (нор) рибофлавин	1,3±0,2	90±20
2',3',4',5'-Тетраацетилрибофлавин	1,4±0,1	250±30
8α-Бром-2',3',4',5'-Тетраацетилрибофлавин	1,07±0,01	40±2
8α-(γ-Карбоксипропиламино)-2',3',4',5'-тетраацетилрибофлавин	1,06±0,04	90±20
8α-[n-(5-Этил-1,3,4-тиодиазол-2-илсульфамило)フェニламино]-2',3',4',5'-тетраацетилрибофлавин	1,17±0,05	100±20
8α-(L-Метионино)-2',3',4',5'-тетраацетилрибофлавин	1,0±0,2	120±20
8α-[n-(Тиазол-2-илсульфамило)フェニламино]-2',3',4',5'-тетраацетилрибофлавин	1,1±0,2	140±30
8α-(n-Сульфамилофениламино)-2',3',4',5'-тетраацетилрибофлавин	1,24±0,05	180±30
8α-(n-Карбоксифениламино)-2',3',4',5'-тетраацетилрибофлавин	1,26±0,04	210±30
8α-(L-Гомосерино)-2',3',4',5'-тетраацетилрибофлавин	1,2±0,2	340±40
8α-(L-Глутамо)-2',3',4',5'-тетраацетилрибофлавин	1,37±0,06	360±40

та ацилирования гидроксильных групп рибозильного остатка рибофлавина. Максимальная компенсация эффекта ослабления сродства рибофлавина при его тетраацетилировании наблюдается при введении атома Br в 8α-положение: величина [I]<sub>0,5</sub> для 8α-бром-2',3',4',5'-тетраацетилрибофлавина в 6 раз ниже соответствующей величины для 2',3',4',5'-тетраацетилрибофлавина. Таким образом, модификация молекулы рибофлавина как по изоаллоксазиновой, так и по рибозильной части приводит к значительному изменению сродства гликогенфосфорилазы *b* к флавину.

Физиологическое значение взаимодействия рибофлавина с гликогенфосфорилазой может состоять в том, что витамин В<sub>2</sub> выступает в роли регулятора процессов метаболизма гликогена. Повышенное содержание гликогена при избыточном поступлении рибофлавина [6] может быть обусловлено замедлением фосфорилазы гликогена вследствие ингибирования гликогенфосфорилазы, в то время как ослабление ингибирующего действия рибофлавина может приводить к уменьшению содержания гликогена, которое наблюдается при экспериментальном арибофлавинозе [7].

### Экспериментальная часть

В работе использовали динатриевую соль аденоzin-5'-монофосфорной кислоты и дикалиевую соль глюкозо-1-фосфорной кислоты (Reanal, Венгрия), рибофлавин и остальные реагенты отечественного производства. 6-Бромрибофлавин синтезировали по методике, описанной в работе [8], 8-метокси(нор)- и 8-гидрокси(нор)рибофлавины – по [9], 8α-гидроксирибофлавин – по [10], 2',3',4',5'-тетраацетилрибофлавин – по [11], 8α-бром-2',3',4',5'-тетраацетилрибофлавин – по [12], 8α-(L-метионино)-, 8α-(L-гомосерино)-, 8α-(L-глутамо)-, 8α-(γ-карбоксипропиламино)- и 8α-(n-карбоксифениламино)-2',3',4',5'-тетраацетилрибофлавини – по [13], 8α-(n-сульфамилофениламино)-, 8α-[n-(тиазол-2-илсульфамило)フェニламино]- и 8α-[n-(5-этил-1,3,4-тиодиазол-2-илсульфамило)フェニламино]-2',3',4',5'-тетраацетилрибофлавины – согласно [14]. Концентрации флавинов определяли спектрофотометрически с использованием следующих значений молярных коэффициентов поглощения:  $\epsilon_{445}=1,23 \cdot 10^4 \text{ M}^{-1}\text{cm}^{-1}$  для рибофлавина [15],  $\epsilon_{441}=2,49 \cdot 10^4 \text{ M}^{-1}\text{cm}^{-1}$  для 8-метокси(нор)рибофлавина [15],  $\epsilon_{441}=-2,49 \cdot 10^4 \text{ M}^{-1}\text{cm}^{-1}$  для 8-гидрокси(нор)рибофлавина [9],  $\epsilon_{445}=9,7 \cdot 10^3 \text{ M}^{-1}\text{cm}^{-1}$  для 6-бромрибофлавина [16]. Молярные коэффициенты поглощения 8α-гидроксирибофлавина, 2',3',4',5'-тетраацетилрибофлавина и его 8α-замещенных производных при 445 нм полагали равными соответствующему коэффициенту для рибофлавина. Выделение, приготовление растворов и определение концентрации гликогенфосфорилазы *b* из скелетных мышц кролика, а также очистка и основные характеристики гликогена из печени свиньи описаны в работе [3]. Все эксперименты проводили в 0,05 М глициноминовом буфере, pH 6,8, в присутствии 0,2 мМ EDTA.

Седиментационные исследования комплексообразования гликогенфосфорилазы *b* с рибофлавином проводили в аналитической ультрацентрифуге Spinco, модель E (Beckman, Австрия), оборудованной абсорбционной оптической системой и фотоэлектрическим сканирующим устройством, мультиплексором, монохроматором и дополнительным двухкоординатным самописцем NE-230 (EMG, ВНР). В спытах по скоростной седиментации использовали четырехканальный ротор An-F, T<sub>1</sub> и двухсекторные ячейки с угольными вкладышами (12 мм, № 306493). Скорость вращения ротора составляла 60 000 об/мин. В каждом опыте использовали три ячейки, две из которых содержали смесь лиганда с ферментом, а третья ячейка (контрольная) содержала только лиганд в той же самой концентрации, что и в остальных ячейках. Седиментацию регистрировали по оптическому поглощению рибофлавина. После осаждения комплекса фермент-лиганд на дно ячейки концентрацию оставшегося лиганда принимали равной равновесной концентрации свободного лиганда. Опыты проводили при 20° С в присутствии 0,1 М KCl.

Абсолютный спектр оптического поглощения рибофлавина в смеси с гликогенфосфорилазой *b* регистрировали с использованием спектрофотометра Cary-219 (Varian) в присутствии 0,1 М KCl при 20° С. В измерительную кювету помещали смесь растворов фермента и рибофлавина, а в кювету сравнения — раствор фермента с той же концентрацией.

Разностные спектры смесей гликогенфосфорилазы *b* с рибофлавином и его производными регистрировали по четырехкувьестной схеме с использованием спектрофотометра Cary-219 при 30° С в присутствии 0,3 М KCl. В ячейку образца помещали две кюветы, содержащие смесь растворов фермента и флавина в соотношении 1:1 по объему; в ячейку сравнения помещали кюветы с раствором фермента и с раствором флавина. Длины оптического пути этих четырех кювет (5 мм) различались не более чем на 0,1%. В случае рибофлавина и 8-гидрокси(нор)рибофлавина вносили поправку на изменение спектральных характеристик флавина при двукратном разбавлении раствора.

Ферментативную реакцию проводили в направлении наращивания полисахаридных цепей гликогена в присутствии 0,1 мМ АМР, 4 мМ глюкозо-1-фосфата, 1,0 г/л гликогена и 0,3 М KCl при 30° С. Каталитическую активность гликогенфосфорилазы *b* определяли турбидиметрическим методом, описанным в работе [17], с использованием спектрофотометра Cary-219. Скорости ферментативной реакции в присутствии флавинов определяли при длине волны, соответствующей относительно небольшому значению оптического поглощения флавина: 310 нм для рибофлавина, 8-метокси(нор)-, 6-бром-, 8α-гидроксирибофлавинов, 2',3',4',5'-тетраацетилрибофлавина, 320 нм для 8α-бром-, 8α-(L-метионино)-, 8α-(L-гомосерино)-, 8α-(L-глутамо)-, 8α-(γ-карбоксипропиламино)- и 8α-(n-карбоксифениламино)-2',3',4',5'-тетраацетилрибофлавинов, 350 нм для 8-гидрокси(нор)рибофлавина, 550 нм для 8α-(n-сульфамидофениламино)-, 8α-[n-(тиазол-2-илсульфамидо)фениламино]- и 8α-[n-(5-этил-1,3,4-тиодиазол-2-илсульфамидо)фениламино]-2',3',4',5'-тетраацетилрибофлавинов. Относительная ошибка определения скорости ферментативной реакции составляла 3% во всех опытах, за исключением экспериментов при 550 нм, где она равнялась 4%. Ферментативную реакцию запускали добавлением 50 мкг гликогенфосфорилазы *b* к реакционной смеси, конечный объем которой составлял 2,5 мл. Специально было показано, что порядок добавления компонентов не влияет на величину начальной скорости ферментативной реакции.

## ЛИТЕРАТУРА

- Kasvinsky P. J., Shechosky S., Fletterick R. J. // J. Biol. Chem. 1978. V. 253. № 24. P. 9102–9106.
- Sprang S., Fletterick R. Stern M., Yang D., Madsen N., Sturtevant J. // Biochemistry. 1982. V. 21. № 9. P. 2036–2048.
- Клинов С. В., Чеботарева Н. А., Курганов Б. И., Литвак Ж. И., Жилина Т. А., Глебова Г. Д., Пекель Н. Д., Березовский В. М. // Биоорганская химия. 1984. Т. 10. № 9. С. 1161–1170.
- Клинов С. В., Чеботарева Н. А., Курганов Б. И., Литвак Ж. И., Жилина Т. А., Пекель Н. Д., Березовский В. М. // Биоорганская химия. 1985. Т. 11. № 2. С. 196–204.
- Курганов Б. И. Аллостерические ферменты. М.: Наука. 1978. С. 43.
- Koch R. // Intern. Z. Vitamin-Forsch. 1950. В. 22. № 2. S. 136–145.
- Масленникова Е. М. // Вопр. питания. 1956. Т. 15. № 1. С. 3–9.
- Литвак Ж. И., Березовский В. М. // Биоорганская химия. 1985. Т. 11. № 4. С. 556–561.
- Глебова Г. Д., Кириллова Н. И., Березовский В. М. // Журн. общ. химии. 1979. Т. 49. Вып. 8. С. 1884–1895.
- Жилина Т. А., Шейман Б. М., Мельникова Л. М., Березовский В. М. // Биоорганская химия. 1976. Т. 2. № 8. С. 1103–1106.
- McCormick D. B. // J. Heterocycl. Chem. 1970. V. 7. № 2. P. 447–450.
- Walker W. H. Singer T. P., Ghisla S., Hemmerich P. // Eur. J. Biochem. 1972. V. 26. № 2. P. 279–289.
- Тульчинская Л. С., Жилина Т. А., Степанов А. И., Березовский В. М. // Журн. общ. химии. 1975. Т. 45. Вып. 4. С. 928–932.
- Рудзит Э. А., Жилина Т. А., Нещадим Г. Н., Кирина Н. С., Тульчинская Л. С., Полякова Н. А., Березовский В. М. // Хим.-фарм. журн. 1978. Т. 12. № 1. С. 52–57.

15. Березовский В. М. Химия витаминов. М.: Пищ. пром-сть, 1973. С. 548–552.  
 16. Steencamp D. J., Kenney W. C., Singer T. P. // J. Biol. Chem. 1978. V. 253. № 8. P. 2812–2817.  
 17. Сугробова Н. П., Лисовская Н. П., Курганов Б. И. // Биохимия. 1982. Т. 47. Вып. 11. С. 1883–1888.

Поступила в редакцию  
8.II.1988

THE INTERACTION OF MUSCLE GLYCOGEN PHOSPHORYLASE  
b WITH RIBOFLAVIN, ITS TETRAACETYL DERIVATIVE  
AND THEIR ANALOGUES

KLINOV S. V., KURGANOV B. I., CHEBOTAREVA N. A., ZHILINA T. A.,  
LITVAK Zh. I., GLEBOVA G. D., BEREZOVSKIY V. M.

*All-Union Vitamin Research Institute, Moscow*

The interaction of rabbit skeletal muscle glycogen phosphorylase *b* with riboflavin, 2',3',4',5'-tetraacetylriboflavin and their analogues, containing different substituents in the positions 6, 8 and 8 $\alpha$ , has been studied. Dissociation constant for the complex of the enzyme and riboflavin was determined to be 12,5  $\mu$ M (pH 6,8; 20° C) by sedimentation velocity method. Riboflavin and its analogues have been found to inhibit glycogen phosphorylase *b*. The inhibitor half-saturation concentration values increase in the following order: riboflavin (18  $\mu$ M), 8-methoxy(nor)rifoflavin (23  $\mu$ M), 8 $\alpha$ -bromo-2',3',4',5'-tetraacetylriboflavin (40  $\mu$ M), 6-bromoriboflavin (40  $\mu$ M), 8 $\alpha$ -hydroxyriboflavin (60  $\mu$ M), 8-hydroxy(nor)riboflavin (90  $\mu$ M), 8 $\alpha$ -( $\gamma$ -carboxypropylamino)-2',3',4',5'-tetraacetylriboflavin (90  $\mu$ M), 8 $\alpha$ -[*p*-(5-ethyl-1,3,4-thiodiazol-2-ylsulfamido)phenylamino]-2',3',4',5'-tetraacetylriboflavin (100  $\mu$ M), 8 $\alpha$ -(*L*-methionyno)-2',3',4',5'-tetraacetylriboflavin (120  $\mu$ M), 8 $\alpha$ -[*p*-(thiazol-2-ylsulfamido)phenylamino]-2',3',4',5'-tetraacetylriboflavin (140  $\mu$ M), 8 $\alpha$ -(*p*-sulfamidophenylamino)-2',3',4',5'-tetraacetylriboflavin (180  $\mu$ M), 8 $\alpha$ -(*p*-carboxyphenylamino)-2',3',4',5'-tetraacetylriboflavin (210  $\mu$ M), 2',3',4',5'-tetraacetylriboflavin (250  $\mu$ M), 8 $\alpha$ -(*L*-homoserino)-2',3',4',5'-tetraacetylriboflavin (340  $\mu$ M), 8 $\alpha$ -(*L*-glutamo)-2',3',4',5'-tetraacetylriboflavin (360  $\mu$ M). The existence of glycogen phosphorylase *b* complexes with riboflavin and its analogues has been proved by methods of absolute and difference spectrophotometry.